

ГОСУДАРСТВЕННЫЙ КОМИТЕТ СССР  
ПО НАРОДНОМУ ОБРАЗОВАНИЮ

# ИЗВЕСТИЯ

ВЫСШИХ УЧЕБНЫХ ЗАВЕДЕНИЙ

# ЭЛЕКТРОМЕХАНИКА

6

1990

*Копию забвизую:  
Секретарь Всесоюзной Рады  
Свицкоурайнского  
государственного университета*



ИЗДАНИЕ НОВОЧЕРКАССКОГО ОРДЕНА ТРУДОВОГО  
КРАСНОГО ЗНАМЕНИ ПОЛИТЕХНИЧЕСКОГО ИНСТИТУТА  
ИМЕНИ СЕРГО ОРДЖОНИКИДЗЕ

5. Расчеты переходных процессов для оценки методик синтеза АУУ подвесом. Разработка программ расчета электромагнитного поля в элементах ОЛИД: отчет НИР (промежуточ.) // Новочерк. политехн. ин-т. № ГР 01860097943; Инв. № 0287, 0069363. Новочеркасск, 1987. С. 25—31.

6. Иванов В. А., Чемоданов Б. Б., Медведев В. С. Математические основы теории автоматического регулирования. М.: Высш. шк., 1971. 808 с.

7. Бинарный подход к построению адаптивной системы управления магнитной опоры / А. И. Манихин, Ю. А. Гольдман, М. М. Савин, Ю. А. Никитенко // Электромеханика, 1988. № 3. С. 102—105. (Изв. высш. учеб. заведений).

Поступила в редакцию 05.04.1990 г.

УДК 621.314.2:681.14

## СИНТЕЗ КАТУШКИ В МАГНИТНОЙ СИСТЕМЕ ДАТЧИКА ЛИНЕЙНЫХ ПЕРЕМЕЩЕНИЙ

*В. В. Яковенко, В. Я. Гальченко, Л. В. Донская*

Описана методика анализа и синтеза осесимметричной катушки, помещенной в ферромагнитный экран с переменной длиной. Катушка предназначена для применения в магнитной системе датчика линейных перемещений.

**ДАТЧИКИ** линейных перемещений (ДЛП), основанные на принципе измерения напряженности магнитного поля катушки различными первичными измерительными преобразователями, обладают следующими преимуществами: малыми диаметральными размерами, возможностью построения ряда датчиков с широким диапазоном измеряемой величины, высокой чувствительностью, возможностью синтеза функции преобразования. Конструирование магнитных ДЛП требует синтеза магнитного поля на оси осесимметричной катушки, помещенной в экран из ферромагнитного материала с переменной длиной.

Задача синтеза магнитного поля формулируется следующим образом. На оси тонкой осесимметричной катушки постоянного радиуса  $R$ , помещенной в цилиндрический экран ферромагнитного материала радиуса  $R_0$  и длиной  $l_0$  ( $l_0 = \text{var}$ ), требуется создать заданное распределение осевой составляющей магнитного поля  $H(z)$ . Заданное поле формируется с помощью катушки, состоящей из совокупности  $n$  секций, расположенных на одинаковом расстоянии друг от друга. Все секции намотаны проводом одного сечения и соединены последовательно. Ток  $I$ , протекающий по секциям катушки, считается постоянным или квазипостоянным. Решение задачи синтеза дает возможность определить число витков в секциях  $w_1, w_2, \dots, w_n$  с соответствующими направлениями тока, чтобы выполнилось условие [1, 2]:

$$\|H(z) - H_c(z)\| = \sqrt{\int_c^d [H(z) - H_c(z)]^2 dz} < \varepsilon > 0,$$

где  $\varepsilon$  — заданная погрешность синтеза.

Функциональная зависимость величины индукции от координаты  $z$  находится путем решения краевой задачи в заданной области (рис. 1). При этом принимались следующие допущения: магнитная проницаемость стенок экрана равна бесконечности; сечения обмоток секций катушки бесконечно малые. При этих допущениях для угло-

вой составляющей векторного потенциала, создаваемого  $j$ -й обмоткой, справедливо следующее соотношение:

$$\frac{\partial^2 A_j}{\partial r^2} + \frac{1}{r} \frac{\partial A_j}{\partial r} + \frac{\partial^2 A_j}{\partial z^2} - \frac{A_j}{r^2} = \begin{cases} 0 & \text{при } r \neq R; z = z_j; \\ -\mu_0 I \omega_j \delta(z - z_j) \delta(r - R) & \text{при } r = R; z = z_j, \end{cases} \quad (1)$$

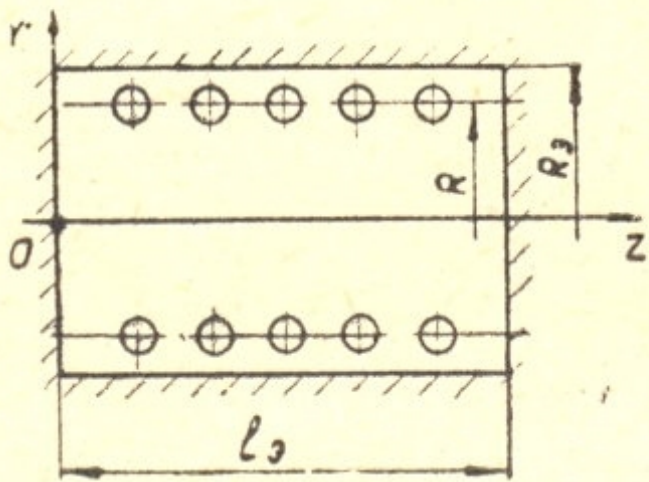


Рис. 1. Расчетная модель осесимметричной катушки, помещенной в экран из ферромагнитного материала

где  $\delta(z - z_j)$ ,  $\delta(r - R)$  — дельта-функции Дирака;  $R$ ,  $z_j$  — координаты  $j$ -й обмотки;  $I$  — ток в обмотке;  $\omega_j$  — число витков в  $j$ -й обмотке;

$$\bar{r} = \pi r / l_0; \quad \bar{z} = \pi z / l_0; \quad \bar{R} = \pi R / l_0.$$

Система уравнений (1) решается методом конечных интегральных преобразований [3] при следующих граничных условиях:

$$\left. \begin{aligned} \frac{\partial A_j}{\partial z} \Big|_{z=0} &= 0; & \frac{\partial A_j}{\partial r} \Big|_{r=R_0} &= 0; \\ \frac{\partial A_j}{\partial z} \Big|_{z=\pi} &= 0; & \frac{\partial A_j}{\partial r} \Big|_{r=R_0} &= 0; \end{aligned} \right\} \quad (2)$$

где  $\bar{R}_0 = \pi R_0 / l_0$ .

Уравнение (1) с помощью косинус-преобразования сводится к модифицированному уравнению Бесселя:

$$\frac{\partial^2 A_j^*}{\partial (rk)^2} + \frac{1}{rk} \frac{\partial A_j^*}{\partial (rk)} - A_j^* \left( \frac{1}{r^2 k^2} + 1 \right) = \begin{cases} 0 & \text{при } r \neq R; z = z_j; \\ -\mu_0 \delta(r - R) I \omega_j \cos k z_j & \text{при } z = R; z = z_j, \end{cases} \quad (3)$$

где  $k$  — натуральное число.

Решения для уравнения (3) имеют вид [4]:

для области 1 при  $0 \leq r \leq R$

$$A_1^* = c_1 I_1(rk);$$

для области 2 при  $R < r < R_0$

$$A_2^* = c_2 I_1(rk) + c_3 K_1(rk),$$

где  $c_1, c_2, c_3$  — постоянные коэффициенты;  $I_1, K_1$  — модифицированные функции Бесселя и Ганкеля первого порядка.

В результате решения (3) и определения постоянных коэффициентов  $c_1, c_2$  и  $c_3$  получена аналитическая зависимость для продольной составляющей напряженности магнитного поля на оси катушки:

$$H(z) = I \cdot F(z),$$

где

$$F(z) = \sum_{j=1}^n \frac{\omega_j}{l_0} \left\{ \sum_{k=1}^{\infty} \frac{k \cos k z_j \cos k z \cdot T(k, \bar{R}, \bar{R}_0)}{I_1(k\bar{R}) \cdot B(k, \bar{R}, \bar{R}_0) - L(k\bar{R}) \cdot T(k, \bar{R}, \bar{R}_0)} - 1 \right\};$$

$$\begin{aligned}
 \Gamma(k, \bar{R}, \bar{R}_0) &= I_1(kR) - \frac{L(kR_0)}{D(kR_0)} \cdot K_1(kR); \\
 B(k, \bar{R}, \bar{R}_0) &= L(kR) - \frac{L(kR_0)}{D(kR_0)} \cdot D(kR); \\
 L(kr) &= \frac{1}{r} I_1(kr) + 0,5kI_0(kr) + 0,5kI_2(kr); \\
 D(kr) &= \frac{1}{r} K_1(kr) - 0,5kK_0(kr) - 0,5kK_2(kr).
 \end{aligned}
 \tag{4}$$

Для улучшения сходимости ряда (4) используется метод Куммера [3, 5, 6], заключающийся в добавлении к правой части выражения (4) кубической функции  $f(z) = z^3 - l_0^2 \cdot z$ , удовлетворяющей граничным условиям (2), с одновременным вычитанием разложения этой же функции в ряд Фурье по собственным функциям. Тогда уравнение (4) принимает вид

$$F(z) = \sum_{j=1}^n \frac{\omega_j}{l_0} \left\{ \sum_{k=1}^{\infty} [A(k, \bar{R}, \bar{R}_0) + B(k, l_0)] \cos kz - 1 - \frac{l_0^3}{4} \right\}, \tag{5}$$

где

$$\begin{aligned}
 A(k, \bar{R}, \bar{R}_0) &= \frac{k \cdot \cos kz_j \cdot T(k, \bar{R}, \bar{R}_0)}{I_1(kR) \cdot B(k, \bar{R}, \bar{R}_0) - L(kR) \cdot T(k, \bar{R}, \bar{R}_0)}; \\
 B(k, l_0) &= (-1)^k \left( 4 \frac{l_0^3}{(k\pi)^3} - 12 \frac{l_0^3}{(k\pi)^4} \right) + 12 \frac{l_0^3}{(k\pi)^4} + 2 \frac{l_0^3}{(k\pi)^2}.
 \end{aligned}$$

При суммировании бесконечного ряда Фурье, согласно (5), используется простейшая регуляризация суммирования по числу членов [7]. Оценка амплитуд пространственных гармоник поля производится по формуле:

$$|A_m| \leq \gamma,$$

где  $A_m$  — амплитуда текущей гармоники;  $\gamma$  — ошибка вычисления амплитуды гармоники.

Задача синтеза магнитного поля на оси катушки сводится к решению интегрального уравнения Фредгольма первого рода

$$H(z) = \int_a^b K(z_j, z) \omega(z_j) dz_j, \quad a \leq z_j \leq b; \quad c \leq z \leq d; \tag{6}$$

с ядром

$$K(z_j, z) = \frac{1}{l_0} \left\{ \sum_{k=1}^{\infty} [A(k, \bar{R}, \bar{R}_0) + B(k, l_0)] \cos kz - 1 - \frac{l_0^3}{4} \right\}.$$

При решении (6) используется регуляризирующий алгоритм Тихонова А. Н. [8]:

$$\int_c^d \left[ \int_a^b K(z_j, z) \omega(z_j) dz_j - H(z) \right]^2 dz + \alpha \int_a^b \{ \omega^2(z_j) + [\omega'(z_j)]^2 \} dz_j, \tag{7}$$

где  $\alpha$  — параметр регуляризации.

Для перехода от бесконечномерной задачи к конечномерной уравнение (7) аппроксимируется на равномерной сетке  $\{z_{ji}\}_{i=1}^n$  для каждого из значений аргумента  $z$ , заданного на равномерной сетке  $\{z_i\}_{i=1}^m$ . При аппроксимации используется формула прямоугольников. Решение уравнения (7) сводится к решению плохо обусловленной системы линейных уравнений. Поиск приближенного решения осуществ-

ляется отысканием экстремали сглаживающего функционала (7). Выбор параметра регуляризации осуществляется в соответствии с обобщенным принципом невязки [8, 9]:

$$\rho(\alpha) = \| A_h w - H_\delta(z) \|^2 - (\delta + h \| w \|^2) - \rho^2(H_\delta(z), A_h) = 0,$$

где  $A_h$  — матрица линейного оператора, аппроксимирующего интегральный оператор в уравнении (7);  $\delta$  — погрешность задания левой части уравнения (6);  $h$  — погрешность задания линейного оператора  $A_h$ ;  $(\rho(H_\delta(z), A_h))$  — мера несовместимости уравнения (6);

$$\alpha = 1/\rho(H_\delta(z), A_h).$$

Для отыскания корня обобщенной невязки  $\rho(\alpha) = 0$  в численных расчетах используется модификация метода хорд [8]. Пример синтеза магнитного поля катушки приводится в приложении.

#### ПРИЛОЖЕНИЕ

Приводятся результаты синтеза магнитной системы ДЛП, состоящей из девяти секций. Функция  $H(z)$  имеет следующий вид:  $H(z) = 20750 \cdot z + 370$ . Параметры магнитной системы ДЛП:  $a = 1$  мм;  $b = 27$  мм;  $c = 4,5$  мм;  $d = 18,5$  мм. Радиус секционированной катушки равен 4 мм. Длина и радиус экрана равны соответственно 23 и 4,5 мм. Ток в катушке — 97 мА. Задавались следующие погрешности  $\delta = 1 \cdot 10^{-6}$ ;  $h = 1 \cdot 10^{-8}$ ;  $\gamma = 1 \cdot 10^{-7}$ . Начальное значение параметра регуляризации  $\alpha = 4 \cdot 10^{-3}$ . Результаты расчета сведены в таблицу.

Номера секций	1	2	3	4	5	6	7	8	9
Число витков в секции	3,32	3,77	5,89	7,93	9,79	11,89	13,18	18,96	20,52
Заданное распределение, А/м	393,37	429,68	465,99	502,3	538,62	574,93	611,24	647,56	683,87
Синтезированное распределение, А/м	393,59	429,49	465,99	502,24	538,87	574,77	610,56	649,18	682,8

Таким образом, максимальная погрешность синтеза составляет 0,16%. Оптимальное значение параметра регуляризации  $\alpha = 0,36 \cdot 10^{-6}$ .

#### ЛИТЕРАТУРА

1. Стадник И. П. Решение одного класса задач синтеза электро- и магнитостатических полей // Электромеханика, 1979. № 5. С. 379—385. (Изв. высш. учеб. заведений).
2. Стадник И. П. Метод последовательных приближений для разложения по неортогональной системе и его применение к синтезу осесимметричной катушки по заданному магнитному полю на оси // Электромеханика, 1982. № 2. С. 137—144. (Изв. высш. учеб. заведений).
3. Иоссель Ю. Я. Расчет потенциальных полей в энергетике. Л.: Энергия, Ленингр. отд-ние, 1978. 348 с.
4. Корн Г., Корн Т. Справочник по математике для научных работников и инженеров. М.: Наука, 1984. 831 с.
5. Хемминг Р. В. Численные методы для научных работников и инженеров. М.: Мир, 1972. 400 с.
6. Гринберг Г. А. Избранные вопросы математической теории электрических и магнитных явлений. М.; Л.: Изд-во АН СССР, 1948. 727 с.
7. Калиткин Н. Н. Численные методы. М.: Наука, 1978. 512 с.
8. Регулярирующие алгоритмы и априорная информация / А. Н. Тихонов, А. В. Гончарский, В. В. Степанов, А. Г. Ягола. М.: Наука, 1983. 200 с.
9. Rudnicki Marek. Synthesis of electromagnetic field using generalized discrepancy, — Pr. Gnst. elektrotech., 1935, vol. 33, num. 137, p. 19—33.

Поступила в редакцию 03.07.1989 г.